生物工程

过量表达甲酸脱氢酶提高大肠杆菌合成 L-2-氨基丁酸的效率

李 莹1, 史红玲1,2, 王 喆1, 冉璐妮1, 薛 闯2, 唐存多1*

(1. 南阳师范学院 河南省伏牛山昆虫生物学重点实验室,河南 南阳 473061; 2. 大连理工大学 生物工程学院,辽宁 大连 116024)

摘要: 为了实现 L-2-氨基丁酸(L-ABA)的高效生物合成,借助 pACYCDuet-1 和 pET28a 共表达系统,构建了携带 L-苏氨酸脱氨酶(L-TD)、L-亮氨酸脱氢酶(L-L-DH)和不同活性甲酸脱氢酶(FDH)编码基因的重组大肠杆菌,分别命名为: *E. coli* BL21 (DE3)/pACYCDuet-1-*Ec*TD-*Es*LeuDH: pET28a-*Cb*FDH 和 *E. coli* BL21 (DE3)/pACYCDuet-1-*Ec*TD-*Es*LeuDH: pET28a-*Cb*FDH 和 *E. coli* BL21 (DE3)/pACYCDuet-1-*Ec*TD-*Es*LeuDH: pET28a-*Cb*FDH^M。经诱导表达后,L-苏氨酸脱氨酶和 L-亮氨酸脱氢酶在两个重组大肠杆菌中的表达水平基本一致,而后者的甲酸脱氢酶酶活表达水平为(342.00±9.40) IU/mL,显著高于前者的(196.00±6.20) IU/mL。在 50 mL 反应体系中,200 mmol/L L-苏氨酸经 220 r/min、30 °C下反应 6 h 时,前者 L-ABA得率为71%,后者为85%。结果表明,提高甲酸脱氢酶的表达水平可以显著提高 L-ABA的合成效率。此外,优化反应温度后,在 35 °C下反应 6 h 时,L-ABA的得率可达90%。

关键词: L-2-氨基丁酸; L-苏氨酸; 共表达; 微生物细胞工厂; 全细胞催化; 生物工程中图分类号: TQ922 文献标识码: A 文章编号: 1003-5214 (2023) 05-1048-07

Increase of L-2-aminobutyric acid yield *via* formate dehydrogenase overexpression in *Escherichia coli*

LI Ying¹, SHI Hongling^{1,2}, WANG Zhe¹, RAN Luni¹, XUE Chuang², TANG Cunduo^{1*}

(1. Henan Provincial Key Laboratory of Funiu Mountain Insect Biology, Nanyang Normal University, Nanyang 473061, Henan, China; 2. School of Bioengineering, Dalian University of Technology, Dalian 116024, Liaoning, China)

Abstract: In order to achieve the efficient biosynthesis of L-2-aminobutyric acid (L-ABA), two recombinant *Escherichia coli* strains carrying L-threonine deaminase (L-TD), L-leucine dehydrogenase (L-L-DH) and different formate dehydrogenases (FDH) encoding genes were established by using a dual plasmid co-expression system of pACYCDuet-1 and pET28a, and named *E. coli* BL21 (DE3)/pACYCDuet-1-*Ec*TD-*Es*LeuDH: pET28a-*Cb*FDH and *E. coli* BL21 (DE3)/pACYCDuet-1-*Ec*TD-*Es*LeuDH: pET28a-*Cb*FDH^M, respectively. After induction, the expression levels of L-threonine deaminase and L-leucine dehydrogenase in the two recombinant *E. coli* strains were basically the same, while that of formate dehydrogenase in the latter was (342.00±9.40) IU/mL, significantly higher than (196.00±6.20) IU/mL expressed in the former strain. In a 50 mL reaction system with 200 mmol/L L-threonine reacted at 220 r/min and 30 °C for 6 h, the yield of L-ABA was 71% in the former and 85% in the latter. The results showed that formate dehydrogenase overexpression could significantly improve the synthesis efficiency of L-ABA. Moreover, the yield of L-ABA reached 90% when catalyzed at 220 r/min and the optimized temperature of 35 °C for 6 h.

Key words: L-2-aminobutyric acid; L-threonine; co-expression; microbial cell factory; whole cell catalysis; biological engineering

收稿日期: 2022-08-30; 定用日期: 2022-11-08; **DOI**: 10.13550/j.jxhg.20220812

L-2-氨基丁酸(L-ABA)是一种重要的非天然 氨基酸,作为重要的药物中间体可用于左乙拉西坦 等抗癫痫药物的合成^[1-3]。目前,常用的 L-ABA 合 成工艺有化学合成和生物合成两类。

传统化学合成易形成外消旋体, 不利于产物纯 化,环境污染严重,因而不宜进行工业化生产。生 物合成法主要有生物发酵法、转氨酶法和氨基酸脱 氢酶法[4-5]。生物发酵法主要是对产 L-苏氨酸的大肠 杆菌进行改造,改造后的菌株能在含质量浓度为 30 g/L 的葡萄糖培养基中合成质量浓度 5.4 g/L 的 L-ABA,糖酸转化率有待进一步提高^[6]。转氨酶法 是以 2-酮丁酸为底物, L-天冬氨酸为氨基供体进行 合成, 会产生大量的 L-丙氨酸副产物, 不利于后续 的分离。传统氨基酸脱氢酶法受限于氨基酸脱氢酶 活性较低,对底物转化率不高,且底物 2-酮丁酸本 身也不稳定,这会增加底物和酶的消耗,进而增加 L-ABA 的生产成本[7-8]。后来,通过逐步引入 L-苏 氨酸脱氨酶(L-TD)能将廉价的 L-苏氨酸转化成 2-酮丁酸, 然后通过 L-亮氨酸脱氢酶 (L-L-DH) 和 甲酸脱氢酶 (FDH)进行 L-ABA 的生物合成,大大 提高了合成效率, L-ABA 的产率达到了 97.3%^[6]。 本课题组在前期研究工作中,获得了一系列高活性 的 L-亮氨酸脱氢酶^[9]和甲酸脱氢酶^[10],前期研究为 L-ABA 的生物合成及实现 L-苏氨酸的转产增值奠 定了坚实的基础。本研究拟采用图 1 所示的合成路 线,通过构建含双质粒的重组菌,实现 L-苏氨酸脱 氨酶、L-亮氨酸脱氢酶和甲酸脱氢酶 3 种酶共表达, 以实现3酶级联协同催化L-苏氨酸合成L-ABA,进 而采用全细胞催化的方法高效合成 L-ABA。由于在 羰基不对称胺化还原过程中需要消耗还原型烟酰胺 腺嘌呤二核苷酸(NADH), 因此, 该反应偶联了甲 酸脱氢酶介导的辅酶再生系统[11]。此外,已有研究 报道强化 NADH 的再生能力能够显著提高 L-苯甘 氨酸合成的效率[10]。

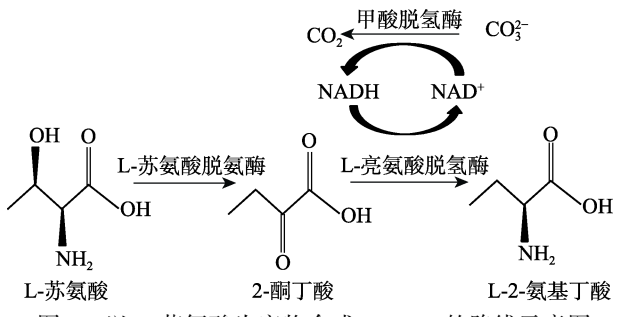


图 1 以 L-苏氨酸为底物合成 L-ABA 的路线示意图 Fig. 1 Schematic diagram of synthesis route of L-ABA from L-threonine as substrate

因此,本研究试图借助强化甲酸脱氢酶的表达 来调节辅酶再生能力,并考察不同甲酸脱氢酶对 L-ABA 生物合成效率的影响。本研究有望实现 L-ABA 低成本、高效率的生物合成,为 L-苏氨酸的 转产增值奠定坚实的理论基础。

1 实验部分

1.1 试剂与仪器

L-苏氨酸(HPLC 纯度≥99%), 北京索莱宝科技有限公司; L-ABA(HPLC 纯度 99%)、2,4-二硝基氟苯(HPLC 纯度 98%), 上海麦克林生化科技股份有限公司; 乙腈、甲醇, 色谱纯, 天津市科密欧化学试剂有限公司; 辅酶 NAD+(烟酰胺腺嘌呤二核苷酸), 分析纯, 深圳邦泰生物工程有限公司, 其他试剂均为国产分析纯。

FreeZone®冷冻干燥机,美国 Labconco 公司; DYY-6C 型核酸电泳仪,北京市六一仪器厂; Power Pac HC 型蛋白电泳仪,美国 Bio-Rad 公司; EC 2006 型高效液相色谱(HPLC)系统,大连依利特分析仪器 有限公司; Hypersil C₁₈柱,美国 Thermo Scientific 公司。 1.1.1 菌株和质粒

Escherichia coli BL21 (DE3)、携带高活性甲酸脱氢酶 CbFDH 和 CbFDH^M基因的重组大肠杆菌 E. coli BL21 (DE3)/pET28a-CbFDH 和 E. coli BL21 (DE3)/pET28a-CbFDH 和 E. coli BL21 (DE3)/pET28a-CbFDH^M 菌株由本课题组构建和保藏[10,12]。其中,与 CbFDH 相比,CbFDH^M 含有S23C/E53V/E202D/E325Q/L184V/K328V 共 6 个位点的突变。重组大肠杆菌 E. coli BL21 (DE3)/pET28a-EsLeuDH[13]由许建和教授馈赠,表达质粒pACYCDuet-1 由本课题组保藏。

1.1.2 培养基

LB 培养基:液体培养基添加(均为质量浓度) 10 g/L 蛋白胨、10 g/L 氯化钠和 5 g/L 酵母提取物,固体培养基则需额外添加 20 g/L 琼脂粉,自然 pH,121 ℃灭菌 20 min,用于大肠杆菌的培养。

1.2 方法

1.2.1 重组菌的构建

从 National Center for Biotechnology Information (https://ncbi.nlm.nih.gov/)中搜索到一个大肠杆菌来源的 L- 苏 氨 酸 脱 氨 酶 *Ec*TD (GenBank: NP_418220.1),其 对 应 基 因 的 序 列 号 为 : NC_000913.3:3955331-3956875。根据此序列设计扩增 *Ec*TD 的特异性引物 *Ec*TD-F: CGGGATCCGATGGCTGACTCGCAACCC(含 *Bam*H I 酶切位点)和 *Ec*TD-R: CCCAAGCTTCTAACCCGCCAAAAAGAAC(含 *Hind* Ⅲ酶切位点),并委托苏州弘讯生物技术有限公司进行合成。以 *E. coli* BL21 (DE3)的基因组 DNA 为模板,利用特异性引物 *Ec*TD-F 和 *Ec*TD-R 进行聚合酶链式反应(PCR)扩增 *Ec*TD 的编码基

因,然后按图 2 所示的流程分别获得 $E.\ coli$ BL21 (DE3)/pACYCDuet-1-EcTD-EsLeuDH: pET28a-CbFDH 和 $E.\ coli$ BL21 (DE3)/pACYCDuet-1-EcTD-EsLeuDH: pET28a-CbFDH^M 重组菌。将上述重组菌在无抗 LB 培养基上连续培养 10 次,然后接种至同时含卡拉霉素和氯霉素的 LB 培养基上培养,观察生长情况,以双重抗性筛选方法来考察重组菌携带质粒的遗传稳定性[14]。

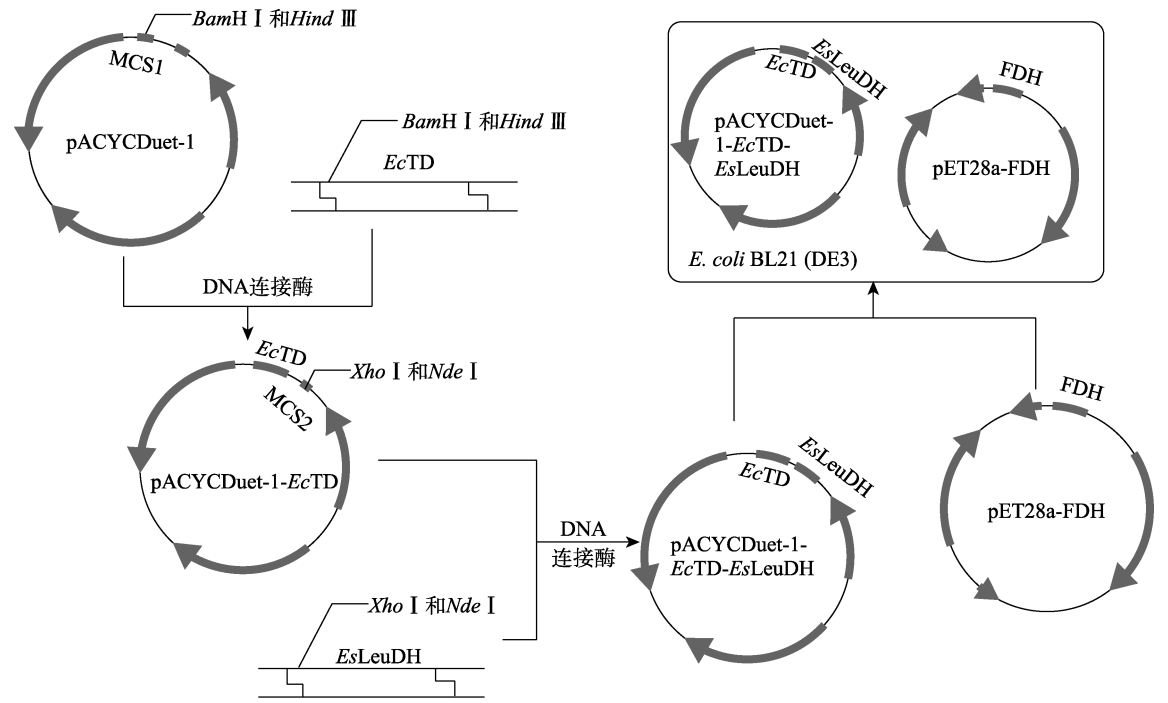
1.2.2 重组大肠杆菌诱导方法

为了降低包涵体的产生,提高可溶性表达效率,本研究采取低温诱导的策略对上述重组大肠杆菌进行诱导表达。分别将 E. coli BL21 (DE3)/pACYCDuet-1、E. coli BL21 (DE3)/pACYCDuet-1-EcTD、E. coli BL21 (DE3)/pACYCDuet-1-EcTD-EsLeuDH、E. coli BL21 (DE3)/pACYCDuet-1-EcTD-EsLeuDH: pET28a-CbFDH、E. coli BL21 (DE3)/pACYCDuet-1-EcTD-EsLeuDH: pET28a-CbFDHM、E. coli BL21 (DE3)/pACYCDuet-1-EcTD-EsLeuDH: pET28a-CbFDHM、E. coli BL21 (DE3)/pET28a-CbFDH、E. coli BL21 (DE3)/pET28a-EsLeuDH 单菌落接种到试管 LB液体培养基中,培养 12~14 h 后,按体积分数 2%接种量

转接至 100 mL LB 液体培养基中,37 ℃、200 r/min 振荡培养至 OD_{600} =0.6 左右(其中, OD_{600} 是指在波长 600 nm 处的吸光度),加入终浓度为 0.1 mmol/L 的异丙基硫代半乳糖苷(IPTG)后进行 16 ℃低温诱导。收集诱导后的菌体,一部分用 10 mL 100 mmol/L 的三羟甲基氨基甲烷盐酸盐(Tris-HCl)重 悬后进行超声破碎,然后进行十二烷基硫酸钠-聚丙烯酰胺凝胶电泳(SDS-PAGE)分析[15]。另一部分采用冻干机在—40 ℃下进行重组大肠杆菌的菌体冻干,将获得的冻干的重组大肠杆菌用于全细胞催化 L-苏氨酸合成 L-2-氨基丁酸。

1.2.3 酶活测定方法

取上清液参照文献[16-17]测定各重组酶的酶活。以L-苏氨酸为底物构建体系测定 EcTD 的酶活,酶活定义为 1 min 内生成 1 μ mol 2-酮丁酸所需的酶量为 1 IU。以 2-酮丁酸为底物测定 EsLeuDH的酶活,酶活定义为在 1 min 内消耗 1 μ mol 辅酶 NADH 所需的酶量为 1 IU。以甲酸钠为底物测定 CbFDH 的酶活,酶活定义为 1 min 内生成 1 μ mol NADH 所需的酶量为 1 IU。



注: MCS1 和 MCS2 分别为表达质粒 pACYCDuet-1 的克隆位点 1 和克隆位点 2; *Ec*TD 为 L-苏氨酸脱氨酶; *Bam*H I 、*Hind* Ⅲ、*Xho* Ⅰ 和 *Nde* Ⅰ 为 4 种不同的限制性内切酶

图 2 构建重组质粒及重组大肠杆菌的示意图

Fig. 2 Schematic diagram of constructing recombinant plasmids and recombinant E. coli strains

1.2.4 重组大肠杆菌全细胞转化 L-苏氨酸合成 L-ABA 在 250 mL 三角瓶中构建 50 mL 反应体系,体系包括: 200 mmol/L L-苏氨酸、200 mmol/L 甲酸铵、0.75 mmol/L 辅酶 NAD⁺、50 mg 冻干的重组大肠杆菌和适量的玻璃珠,并于 30 ℃、220 r/min 条件下振荡反应 12 h,期间间隔 2 h 取 1 mL 转化液并高速

离心,将上清液稀释适当倍数后用 0.22 μm 有机系滤 膜进行过滤,用 HPLC 检测转化液中 L-ABA 的含量,并绘制 L-ABA 得率与时间的关系曲线。

1.2.5 不同温度对合成 L-ABA 的影响

为了考察不同温度下全细胞催化 L-苏氨酸合成 L-ABA 的合成效率,结合实际生产中较易达到的温

度范围,参照 1.2.4 节反应体系,测定了 $E.\ coli\ BL21$ (DE3)/pACYCDuet-1-EcTD-EsLeuDH: pET28a-CbFDH^M 细胞在 25、30 和 35 °C下合成 L-ABA 的情况,并 绘制不同温度下 L-ABA 得率与时间的关系曲线。 1.2.6 底物和产物的检测

对底物 L-苏氨酸、产物 L-ABA 进行普通 C_{18} 柱的 HPLC 分析,通过柱前衍生测定 $^{[4,17]}$,HPLC 色谱柱为 Thermo Hypersil C18 柱,检测波长为 360 nm,室温,流动相 A [V(去离子水):V(乙腈)=1:1〕与流动相 B (pH=6.4 的 0.05 mol/L 乙酸钠水溶液),按照表 1 的洗脱梯度进行梯度洗脱,设定流速为 1 mL/min。用超纯水将 L-ABA 标准品配成 1、3、5、7、9 mmol/L 溶液,进行柱前衍生化反应,经 0.22 μ m 有机系滤膜过滤后,取 10 μ L 进行 HPLC 分析,将各个浓度 L-ABA 的峰面积与各个浓度进行线性拟合获得回归方程及相关系数。待检样品产物按照同样的色谱条件进行柱前衍生 HPLC 分析,可以由回归方程结合所测峰面积计算出相应的样品浓度。

表 1 HPLC 洗脱梯度 Table 1 HPLC elution gradients

| 序号 | 时间/min | 流动相 A 体积分数/% | 流动相 B 体积分数/% |
|----|--------|-----------------|-----------------|
| 1 | 0 | 16 | 84 |
| 2 | 0 | 16 | 84 |
| 3 | 2.4 | 30 | 70 |
| 4 | 4.2 | 34 | 66 |
| 5 | 7.2 | 43 | 57 |
| 6 | 13.3 | 55 | 45 |
| 7 | 15.0 | 55 | 45 |
| 8 | 20.4 | 98 | 2 |
| 9 | 21.3 | 16 | 84 |
| 10 | 30.0 | 16 | 84 |

在上述分析条件下, L-ABA 标准品的保留时间约为 16.37 min,将与不同浓度(x,mmol/L)的 L-ABA 标准品相对应的峰面积(y)进行线性拟合,获得标准曲线,得出 L-ABA 浓度相应的回归方程为y=760.05x-743.22,相关系数(R²)为 0.9907,该结果表明,在上述 HPLC 分析条件及 L-ABA 浓度范围下,L-ABA 浓度与其相应的峰面积呈现出良好的线性关系,因此,利用此法可以得到 L-ABA 得率。同样条件下对底物 L-苏氨酸进行 HPLC 分析,得到 L-苏氨酸的保留时间约为 12.49 min。由此可见,L-苏氨酸的保留时间比 L-ABA 的保留时间约短 4 min,结果表明,在该色谱条件下能够实现 L-苏氨酸与L-ABA 的良好分离,该色谱方法能够用于催化产物的分析鉴定。

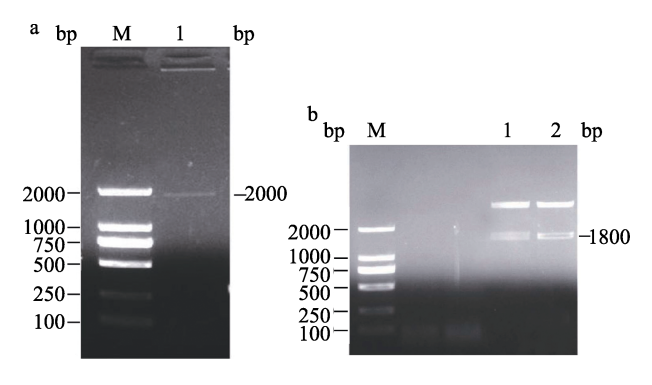
1.2.7 数据统计及图表绘制方法

本文中的图片均用 Adobe Photoshop CS 8.0 软件进行处理,借助 Origin 9 完成数据分析及处理。

2 结果与讨论

2.1 重组大肠杆菌的构建

按照重组菌的构建方法将质粒 pACYCDuet-1 与 EcTD 编码基因的 PCR 扩增产物同时进行双酶切,将酶切后的 EcTD 和 pACYCDuet-1 连接并热激转化至 E. coli BL21 感受态细胞,在含氯霉素的 LB 平板上筛选获得重组菌。挑取重组菌用通用引物进行PCR 检测,结果如图 3a 所示,检测片段大小约 2000 bp,与预期相符。进一步提取质粒进行双酶切验证,结果如图 3b 所示,表明双酶切后能够释放出与目的片段长度一致的片段,约为 1800 bp。将经 PCR 检测和双酶切验证的重组菌送至生工生物工程(上海)股份有限公司进行测序。结果表明,编码 EcTD 的序列及该序列在表达载体上的插入位置与预期的结果相符,表明已成功构建 E. coli BL21 (DE3)/pACYCDuet-1-EcTD 重组菌。



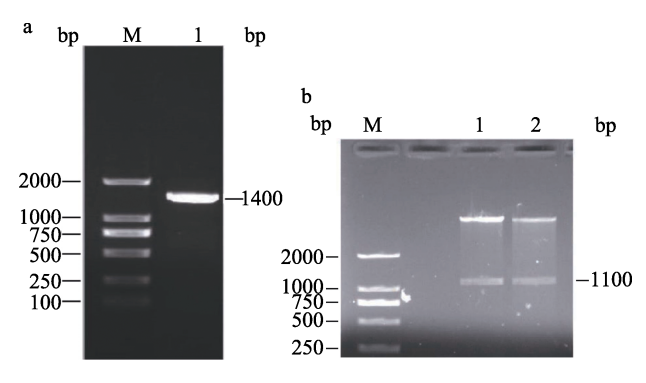
注: M 为 DNA 标记; 图 3a 中 1 为重组菌 *E. coli* BL21 (DE3)/pACYCDuet-1-*Ec*TD 的菌液 PCR 检测泳道;图 3b 图中 1、2 分别为重组质粒 pACYCDuet-1-*Ec*TD 的双酶切验证泳道

图 3 E. coli BL21 (DE3)/pACYCDuet-1-EcTD 重组菌的 菌液 PCR 检测(a)及双酶切验证(b)

Fig. 3 PCR detection (a) and double enzyme digestion verification (b) of *E. coli* BL21 (DE3)/pACYCDuet-1-*Ec*TD recombinant strain

同样,将重组质粒 pACYCDuet-1-EcTD 和EsLeuDH 基因的 PCR 扩增产物同时进行双酶切,将酶切后的 EsLeuDH 和 pACYCDuet-1-EcTD 连接并热激转化至 E. coli BL21 感受态细胞,同样在含氯霉素的 LB 平板上筛选获得重组菌。挑取阳性重组菌用通用引物进行 PCR 检测,结果如图 4a 所示,片段大小约 1400 bp,与预期相符。进一步提取质粒进行双酶切验证,结果如图 4b 所示,双酶切后能够释放出与 EsLeuDH 长度一致的目的片段,大小约为1100 bp。将经 PCR 检测和酶切验证的重组菌送生工

生物工程(上海)股份有限公司进行测序,结果表明,EsLeuDH的序列及其在载体上的插入位置与预期一致,表明已成功构建 E. coli BL21 (DE3)/pACYCDuet-1-EcTD-EsLeuDH 重组菌。



注: M 为 DNA 标记; 图 4a 中 1 为重组菌 *E. coli* BL21 (DE3)/pACYCDuet-1-*Ec*TD-*Es*LeuDH 的菌液 PCR 检测泳道; 图 4b 图中 1、2 分别为重组质粒 pACYCDuet-1-*Ec*TD-*Es*LeuDH 的 双酶切验证泳道

图 4 E. coli BL21 (DE3)/pACYCDuet-1-EcTD-EsLeuDH 重组菌的菌液 PCR 检测 (a) 及双酶切验证 (b)

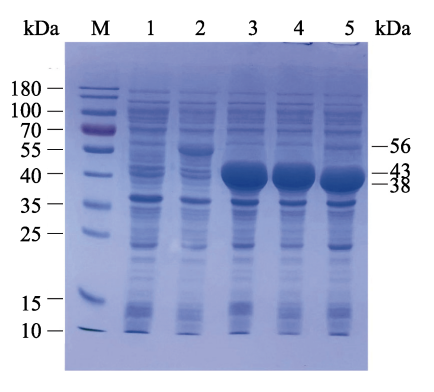
Fig. 4 PCR detection (a) and double enzyme digestion verification (b) of *E. coli* BL21 (DE3)/pACYCDuet-1-*Ec*TD-*Es*LeuDH

最后,分别将 pET28a-CbFDH 质粒和 pET28a-CbFDH^M质粒与 pACYCDuet-1-EcTD-EsLeuDH 质粒同时转化至 E. coli BL21 (DE3)感受态细胞,经卡拉霉素和氯霉素双抗性筛选,获得 E. coli BL21 (DE3)/pACYCDuet-1-EcTD-EsLeuDH: pET28a-CbFDH和 E. coli BL21 (DE3)/pACYCDuet-1-EcTD-EsLeuDH: pET28a-CbFDH^M重组菌。重组菌生长状况良好,表明该重组菌能够用于后续的全细胞催化研究。

2.2 重组大肠杆菌的诱导表达及鉴定

分别将 E. coli BL21 (DE3)/pACYCDuet-1、E.

coli BL21 (DE3)/pACYCDuet-1-EcTD、E. coli BL21 (DE3)/pACYCDuet-1-EcTD-EsLeuDH、E. coli BL21 (DE3)/pACYCDuet-1-EcTD-EsLeuDH: pET28a-CbFDH、E. coli BL21 (DE3)/pACYCDuet-1-EcTD-EsLeuDH: pET28a-CbFDHM、E. coli BL21 (DE3)/pET28a-CbFDH、E. coli BL21 (DE3)/pET28a-EsLeuDH 重组 菌按照 1.2.2 节方法进行诱导表达,将诱导离心后的 菌液经重悬破碎后进行 SDS-PAGE 及酶活分析。 SDS-PAGE 的结果如图 5 所示。由图 5 可见,E. coli BL21 (DE3)/pACYCDuet-1-EcTD-EsLeuDH: pET28a-CbFDH 的裂解上清液在 56 和 38~43 kDa 处有明显的特异性条带,理论上分别与 EcTD、EsLeuDH 和 CbFDH 的相对分子质量一致,表明 3 个目标酶均已成功实现表达。



注: M 为蛋白标记; 1 为 E. coli BL21 (DE3)/pACYCDuet-1; 2 为 E. coli BL21 (DE3)/pACYCDuet-1-EcTD; 3 为 E. coli BL21 (DE3)/pACYCDuet-1-EcTD-EsLeuDH; 4 为 E. coli BL21 (DE3)/pACYCDuet-1-EcTD-EsLeuDH: pET28a-CbFDH; 5 为 E. coli BL21 (DE3)/pACYCDuet-1-EcTD-EsLeuDH: pET28a-CbFDH^M

图 5 重组大肠菌表达产物的 SDS-PAGE 分析

Fig. 5 SDS-PAGE analysis for the expression products of recombinant *E. coli* strains

各重组菌的酶活测定结果如表 2 所示。

表 2 各重组菌的酶活分析
Table 2 Enzyme activity analysis of each recombinant

| 重组菌 | L-TD/(IU/mL) | L-LDH/(IU/mL) | FDH/(IU/mL) |
|--|---------------------|-------------------|-------------------|
| E. coli BL21 (DE3)/pACYCDuet-1 | 246.00 ± 7.40 | _ | _ |
| E. coli BL21 (DE3)/pACYCDuet-1-EcTD | 5046.00 ± 16.20 | _ | _ |
| E. coli BL21 (DE3)/pACYCDuet-1-EcTD-EsLeuDH | 4985.00 ± 12.50 | 182.00 ± 5.30 | _ |
| E. coli BL21 (DE3)/pET28a-CbFDH | 265.00 ± 7.80 | _ | 212.00 ± 6.70 |
| E. coli BL21 (DE3)/pET28a-EsLeuDH | 258.00 ± 6.98 | 226.00 ± 6.50 | _ |
| E. coli BL21 (DE3)/pACYCDuet-1-EcTD-EsLeuDH: pET28a-CbFDH | 4680.00 ± 10.60 | 174.00 ± 4.60 | 196.00 ± 6.20 |
| E. coli BL21 (DE3)/pACYCDuet-1-EcTD-EsLeuDH: pET28a-CbFDH ^M | 4635.40 ± 9.70 | 182.00 ± 5.50 | 342.00 ± 9.40 |

注:"一"表示没有显示出该酶的酶活。

由表 2 可知,在 E. coli BL21 (DE3)/pACYCDuet-1-EcTD-EsLeuDH: pET28a-CbFDH 的细胞裂解液中同时检测到了 EcTD、EsLeuDH 和

CbFDH 的活性,其分别为(4680.00±10.60)、(174.00±4.60)和(196.00±6.20) IU/mL,3种酶共表达时的酶活略低于它们单独表达时的酶活。同时也发现、

L-苏氨酸脱氨酶在大肠杆菌中存在一定量的本底表达,但其表达水平远远低于重组质粒的诱导表达水平。另外, $E.\ coli\ BL21\ (DE3)/pACYCDuet-1-EcTD-EsLeuDH:\ pET28a-CbFDH^M 中的甲酸脱氢酶酶活达到了(342.00±9.40) IU/mL,显著高于 <math>E.\ coli\ BL21\ (DE3)/pACYCDuet-1-EcTD-EsLeuDH:\ pET28a-CbFDH 的表达水平〔(196.00±6.20) IU/mL〕。结合前期报道的结果,<math>E.\ coli\ BL21\ (DE3)/pACYCDuet-1-EcTD-EsLeuDH:\ pET28a-CbFDH^M中甲酸脱氢酶酶活水平的显著提高主要归因于<math>CbFDH^M$ 中甲酸脱氢酶酶活水平的显著提高主要归因于 $CbFDH^M$ 比酶活的提高[10]。酶活测定结果更进一步表明,构建双质粒共表达系统成功构建了能实现EcTD、EsLeuDH 和CbFDH 3个目标酶同时表达的微生物细胞工厂,且具有催化L-苏氨酸合成 L-ABA 的潜力。

此外,为了进一步比较这些重组酶的酶学特性, 进而初步探索各重组大肠杆菌合成 L-ABA 效率差 异的机制,本文基于课题组前期的研究及已报道的 文献进行了总结对比,结果如表 3 所示。

表 3 各重组酶的代表性酶学特性
Table 3 Representative enzymatic characteristics of each recombinant enzyme

| 酶 | $K_{\rm m}/({\rm mmol/L})$ | $K_{\rm cat}/{ m s}^{-1}$ | $K_{\text{cat}}/K_{\text{m}}/$ [(L/(s·mmol)] | 参考文献 |
|-----------------------------|----------------------------|---------------------------|--|---------|
| EcTD | 3.54 | 2.49 | 0.70 | [16] |
| <i>Es</i> LeuDH | 0.91 | 0.30 | 0.32 | [18] |
| CbFDH | 52.40 | 3.20 | 0.06 | [10,12] |
| $Cb\mathrm{FDH}^\mathrm{M}$ | 40.10 | 9.60 | 0.24 | [10,12] |

注: K_m 为酶促反应速度达到最大反应速度一半时所对应的底物浓度,是酶的特征常数之一, mmol/L; K_{cat} 为催化常数(s^{-1}), 又叫做转换数(TN 值, mmol/L), K_{cat} 越大,表示酶的催化效率越高; K_{cat}/K_m 为酶专一性常数或对不同底物的优先权的一种衡量〔($L/(s \cdot mmol)$],当两种底物以相同浓度竞争同一种酶的活性部位时,其转变成产物的速率比是与它们的 K_{cat}/K_m 相等。

由表 3 可知, $CbFDH^M$ 的催化常数显著高于CbFDH 的催化常数,因此,在相同蛋白表达水平的情况下, $CbFDH^M$ 也能表现出更高的催化活性,体现出更强的辅酶再生能力,在合成 L-ABA 的过程中也会更具潜力。

2.3 重组大肠杆菌全细胞催化 L-苏氨酸合成 L-ABA

2.3.1 不同甲酸脱氢酶对 L-ABA 合成的影响

按照全细胞催化法进行 L-苏氨酸的生物转化。 对 E. coli BL21 (DE3)/pACYCDuet-1-EcTD-EsLeuDH: pET28a-CbFDH 和 E. coli BL21 (DE3)/pACYCDuet-1-EcTD-EsLeuDH: pET28a-CbFDH^M 的催化产物取样,经离心后进行 HPLC 分析,结果见图 6。

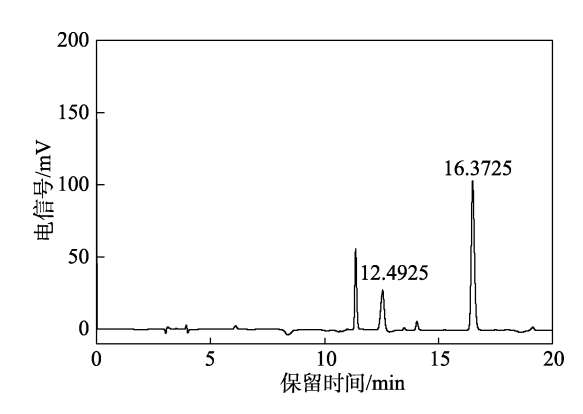


图 6 反应产物的 HPLC 谱图 Fig. 6 HPLC spectrum of reaction product

在 16.3725 和 12.4925 min 处明显有特征峰存在,这与相同 HPLC 分析条件下 L-ABA 和 L-苏氨酸的保留时间一致,且前者的峰面积明显大于后者,表明在该催化条件下,实现了对 L-苏氨酸的大部分转化。而 E. coli BL21 (DE3)/pACYCDuet-1 的催化产物仅在 12.4925 min 处有明显的特征峰,表明该重组菌没有将 L-苏氨酸转化成 L-ABA 的能力。

按 1.2.4 节实验方法, 在不同时间取样分析、计算各时间节点产物的得率, 结果如图 7 所示。

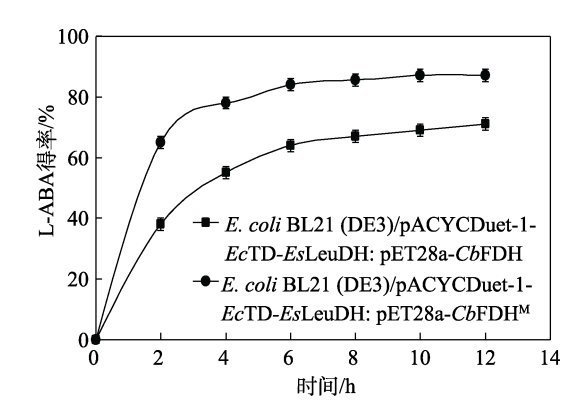


图 7 不同甲酸脱氢酶对 L-ABA 得率的影响 Fig. 7 Effect of different formate dehydrogenases on L-ABA yield

由图 7 可知,当时间为 6 h 时,反应基本达到平衡状态,L-ABA 得率基本不再随时间的变化而变化。此外,携带更高活性甲酸脱氢酶的重组菌 E. coli BL21 (DE3)/pACYCDuet-1-EcTD-EsLeuDH: pET28a-CbFDH^M 的催化活性明显高于 E. coli BL21 (DE3)/pACYCDuet-1-EcTD-EsLeuDH: pET28a-CbFDH。反应 6 h 时,前者的得率为 85%,而后者的得率仅为 71%,强化后的重组大肠杆菌较未强化的得率提高 14%,表明通过增强甲酸脱氢酶的表达水平,可显著提高 NADH 的再生能力,进而能显著提高 L-ABA 的合成效率。

2.3.2 不同温度对 L-ABA 合成的影响

为了进一步提高 L-ABA 的合成效率,按 1.2.5 节实验方法考察了反应温度对 L-ABA 得率的影响,

结果如图 8 所示。

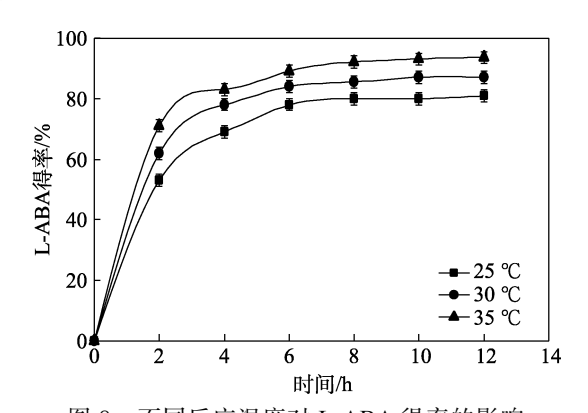


图 8 不同反应温度对 L-ABA 得率的影响 Fig. 8 Effect of different reaction temperatures on L-ABA yield

由于在实际生产中,25~35 ℃的温度范围相对较为温和,较易达到,因此,本研究所考察的温度为25、30 和35 ℃。由图8可见,在这3个温度下,温度越高,L-ABA 得率也越高,这也符合一般酶促反应的规律。在35 ℃下反应6 h时,L-ABA 的得率达到90%,时空产率可以达到3.09 g/(L·h)。

上述这些结果充分验证了前期提出的强化甲酸 脱氢酶的表达水平能显著提高 L-ABA 合成效率的 假设。值得思考的是,与前人报道的 L-ABA 的时空 产率〔5.02 g/(L·h)〕、得率(95%)相比[18],本研 究中甲酸脱氢酶的表达水平虽已显著提高,但 L-ABA 的得率和时空产率仍然偏低。经分析比较, 这可能归因于本研究所构建的重组菌所产 L-亮氨酸 脱氢酶的活性仍然不够, 在本研究中 L-亮氨酸脱氢 酶的表达水平还不及甲酸脱氢酶的水平,因此,在 下一步研究中仍需对 L-亮氨酸脱氢酶的表达水平进 行深度强化。此外,通过反应进程曲线可以明显看 出,催化反应在前 2 h 比较迅速,后期产物增长比 较缓慢,且难以达到前人报道的99%的转化率[6,19]。 经过比对分析, 本研究反应所用的转速明显低于前 人设定的 600 r/min[19], 尽管已经添加了一定量的玻 璃珠,一定程度上可以提高传质效果,但随着反应 的进行, 胞外 L-苏氨酸的浓度逐渐降低, 底物可能 会难以进入胞内, 而胞外 L-ABA 又不断积累, 产物 会更难从胞内释放出来,这可能会大大限制后续反 应的催化效率。

另外,本研究还发现,大肠杆菌中 L-苏氨酸脱氨酶的本底水平较高,为(246.00±7.40) IU/mL,在本研究的反应路线中,L-苏氨酸脱氨酶不是限速酶。相反,L-苏氨酸脱氨酶的过量表达可能还会降低其他两个关键酶的表达,进而影响 L-ABA 总体合成效率。因此,在下一步的研究中,可以考虑将克隆 L-苏氨酸脱氨酶的多克隆位点换成 L-亮氨酸脱氢酶,提高关键酶的表达效率,或者过表达 L-苏氨酸转运蛋

白,以提高底物的跨膜效率,进而进一步提高 L-ABA 的合成效率,降低其合成成本,以实现其工业化生产。

3 结论

- (1)成功构建了 2 个能够同时表达 L-苏氨酸脱氢酶、L-亮氨酸脱氢酶和甲酸脱氢酶 3 种酶的重组大 肠杆菌 E.~coli~BL21~(DE3)/pACYCDuet-1-EcTD-EsLeuDH: pET28a-CbFDH和 <math>E.~coli~BL21~(DE3)/pACYCDuet-1-EcTD-EsLeuDH: pET28a-CbFDH^M。 两种重组菌均能成功同时表达 L-苏氨酸脱氨酶、L-亮氨酸脱氢酶和甲酸脱氢酶,且后者的甲酸脱氢酶酶活表达水平显著高于前者。
- (2)两种重组菌在 50 mL 反应体系中, 200 mmol/L L-苏氨酸经 220 r/min、30 ℃下反应 6 h时, L-ABA 的得率为分别为 71%和 85%, 表明通过强化甲酸脱氢酶的表达水平能够显著提高 L-ABA 的合成效率。
- (3)对反应温度进行优化后, L-ABA 的得率可以达到 90%, 时空产率可以达到 3.09 g/(L·h)。
- (4)尽管本研究实现了 L-ABA 的生物合成,但与前人报道的 L-ABA 的时空产率[5.02 g/(L·h)]、得率(95%)相比,仍然偏低。本研究也发现,该反应的限速酶应该是 L-亮氨酸脱氢酶,下一步的研究中应继续强化 L-亮氨酸脱氢酶的表达,同时对 L-苏氨酸脱氨酶的表达可以适当减弱。

参考文献:

- [1] RAONI S B G, EMERSON T D S, VINICIUS N D S M. An environmentally friendly, scalable and highly efficient synthesis of (S,S)-ethambutol, a first line drug against tuberculosis[J]. Letters in Organic Chemistry, 2015, 12(7): 478-481.
- [2] BAI G Y (白国义), CHEN L G (陈立功), XING P (邢鵬), et al. Synthesis of ethambutol[J]. Fine Chemicals (精细化工), 2004, 21(12): 943-945.
- [3] SHIN J S, KIM B G. Transaminase-catalyzed asymmol/letric synthesis of L-2-aminobutyric acid from achiral reactants[J]. Biotechlogy Letters, 2009, 31(10): 1595-1599.
- [4] LI J Q (李建强). Study on L-2-aminobutyric acid production by recombinant *Escherichia coli*[D]. Hangzhou: Zhejiang University of Technology (浙江工业大学), 2019.
- [5] KE C R, YANG X W, RAO H X, et al. Whole-cell conversion of L-glutamic acid into gammol/L-2-aminobutyric acid by metabolically engineered Escherichia coli[J]. SpringerPlus, 2016, 5: 591.
- [6] FU Y (付妍), ZHANG J X (张君轩), FU X R (付雪蓉), et al. Production of L-2-aminobutyric acid from L-threonine catalyzed by three enzyme cascade[J]. Journal of Biological Engineering (生物工程学报), 2020, 36(4): 782-791.
- [7] GALKIN A, KULAKOVA L, YOSHIMURA T, et al. Synthesis of optically active aminoacids from alpha-keto acids with Escherichia coli cells expressing heterologous genes[J]. Appl Environ Microbiol, 1997, 63(12): 4651-4656.
- [8] TAO R S, JIANG Y, ZHU F Y, et al. A one-pot system for production of L-2-aminobutyric acid from L-threonine by L-threonine deaminase and a NADH-regeneration system based on L-leucine dehydrogenase and formate dehydrogenase[J]. Biotechlogy Letters, 2014, 36(4): 835-841.

(下转第1072页)